

Compression d'Image par Inpainting

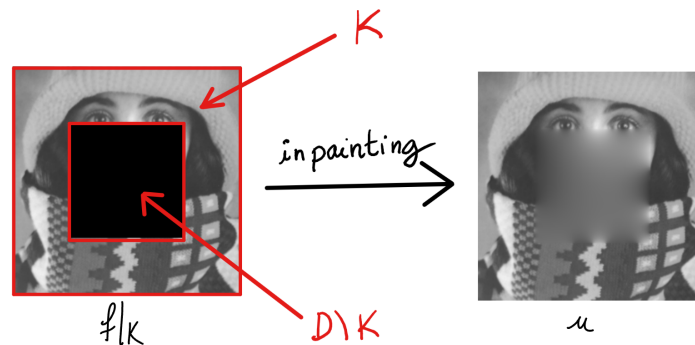
April 12, 2022

On modélise une image en niveaux de gris par une fonction $f : D \rightarrow [0, 1]$ avec $D \subset \mathbb{R}^2$ ouvert borné.

1 Inpainting d'Image

Soit $K \subset D$ un ensemble. On suppose que l'image f n'est connue que sur K . Le but est de reconstruire la partie manquante de l'image $D \setminus K$ au moyen d'une équation aux dérivées partielles avec f comme condition de Dirichlet sur ∂K . C'est ce qu'on appelle l'*inpainting*. De plus, K est appelé le *masque* d'inpainting. Dans la suite, on considère le problème d'inpainting suivant :

$$\begin{cases} -\Delta u = 0, & \text{in } D \setminus K, \\ u = f, & \text{in } K, \\ \frac{\partial u}{\partial \mathbf{n}} = 0, & \text{on } \partial D. \end{cases} \quad (1)$$



- Résoudre numériquement le problème d'inpainting avec la méthode des différences finies.

2 Compression

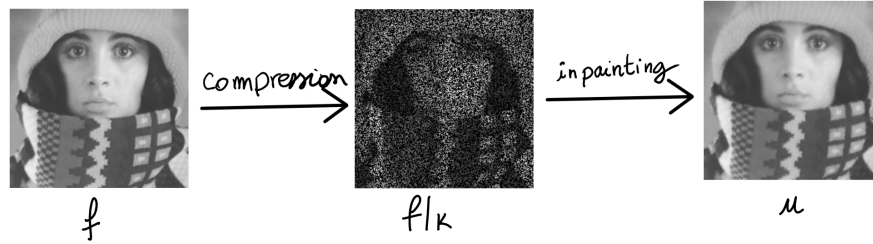
Dans le problème d'inpainting, le masque nous est imposé. Ici, on cherche à "oublier" des morceaux de l'image afin d'avoir moins de données à sauvegarder i.e. on la compresse [2]. Il s'agit de trouver un "bon" masque d'inpainting K . Afin de savoir si un masque est "bon" on utilise une estimation de la qualité de la reconstruction. Plus précisément, si on note u_K la solution de (1) on peut considérer les quantités (il en existe d'autre) :

$$\int_D |f - u_K| dx, \text{ (erreur } L^1),$$

ou

$$\left(\int_D (f - u_K)^2 dx \right)^{1/2}, \text{ (erreur } L^2).$$

Le but est alors de chercher un $K \subsetneq D$ d’une “taille” imposée (strictement plus “petit” que D), qui minimise l’erreur entre l’image d’origine f et la reconstruction u_K .



Il existe différentes stratégies pour la construction de K .

- Implémenter la construction de K par Sparsification [1],
- Implémenter la construction de K par Densification [1],
- Implémenter la construction de K avec l’algorithme B-Tree rectangulaire [4],
- Comparer les masques/reconstructions obtenus par les 3 méthodes ci-dessus lorsque l’erreur est l’erreur L^2 ,
- Comparer les masques/reconstructions obtenus par les 3 méthodes ci-dessus lorsque l’erreur est l’erreur L^1 .

3 Extension aux Image en Couleurs

Un image couleur [3] peut être modélisée par une fonction f de D dans $[0, 1]^3$, $x \mapsto (f_R(x), f_G(x), f_B(x))^T$, avec les fonctions f_R , f_G et f_B de D dans $[0, 1]$, représentant le canal rouge, vert et bleu respectivement.

- Implémenter la compression d’image en couleur.

References

- [1] R. D. ADAM, P. PETER, AND J. WEICKERT, *Denoising by Inpainting*, in Scale Space and Variational Methods in Computer Vision, F. Lauze, Y. Dong, and A. B. Dahl, eds., Lecture Notes in Computer Science, Cham, 2017, Springer International Publishing, pp. 121–132.
- [2] I. GALIĆ, J. WEICKERT, M. WELK, A. BRUHN, A. BELYAEV, AND H.-P. SEIDEL, *Towards PDE-Based Image Compression*, in Variational, Geometric, and Level Set Methods in Computer Vision, N. Paragios, O. Faugeras, T. Chan, and C. Schnörr, eds., Lecture Notes in Computer Science, Berlin, Heidelberg, 2005, Springer, pp. 37–48.
- [3] P. PETER AND J. WEICKERT, *Colour image compression with anisotropic diffusion*, 2014 IEEE International Conference on Image Processing, ICIP 2014, (2015), pp. 4822–4826.
- [4] C. SCHMALTZ, J. WEICKERT, AND A. BRUHN, *Beating the Quality of JPEG 2000 with Anisotropic Diffusion*, in Pattern Recognition, J. Denzler, G. Notni, and H. Süße, eds., Lecture Notes in Computer Science, Berlin, Heidelberg, 2009, Springer, pp. 452–461.